

이항 소거기를 이용한 레이다 신호 검출 특성

김 철 호, 이 흥 재

한국 항공대학 항공전자공학과

A Study on the Performance of Signal Detection in Radar
Using Binomial Canceller

Cheol Ho Kim, Hyung Jae Lee

Dept. of Avionic Eng., Hankuk Aviation College

ABSTRACT

A radar system that consists of a nonrecursive 2-pulse and 3-pulse canceller followed by a square-law integrator is discussed.

The probability density and false alarm probability of integrator output, S for the no signal condition are given according to threshold, T the number, N of pulses integrated, the number, L of pulses processed by MTI and its weight, W.

Also, detection probability is computed using numerical integration by the trapezoidal rule.

I. 서 론

이동 물체를 검출하는데 사용되는 레이다의 특성은 내부 잡음 보다는 오히려 외부 클레터로 부터의 애코에 의하여 영향을 받는다. 이 때 신호대 클레터 비(signal-to-clutter ratio)를 증가시키기 위하여 검출 처리 과정인 MTI가 사용된다. 클레터의 주파수가 좁을 때는 2- 또는 3-펄스 MTI로서 충분 하지만, 클레터의 스펙트럼이 넓으면 많은 펄스들이 필요하게 된다. 한편, 보통의 MTI와 달리 목표물과 클레터를 구별할 수 없는 blind speed를 피하기 위하여 PRF를 변화 시키는 경우가 있다.

본 논문에서는 동일한 PRF를 갖는 2- 및 3-펄스 소거기에 대해 스레쉬홀드와 false alarm 확률의 관계 및 검출 확률을 다루었다.

II. 해 석 모 델

L개의 연속된 펄스로 부터 입력을 선형 결합하고 N개의 연속된 펄스를 비동기적으로 적분하는 레이다 시스템은 그림. 1과 같다.

MTI의 각 출력은 L개의 연속적인 복소 입력 h_k 의 선형 결합이므로 MTI의 출력은

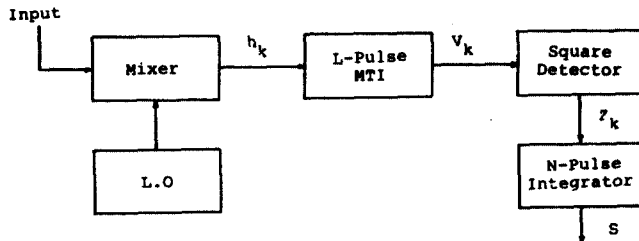
$$v_k = \sum_{l=1}^L w_l h_{k-l+1} = x_k + j y_k \quad (1)$$

단, w_l 은 실수

N개의 연속적인 MTI의 출력을 성분으로 하는 벡터를

$V = [V_1, \dots, V_N]^T$ 로 놓으면 적분기의 출력 S 는

$$S = \sum_{k=1}^N |v_k|^2 = V^H V \quad (2)$$



[그림 1] MTI 레이다 시스템의 불력도

이고, 그림. 2(a)의 2-펄스 소거기의 경우

$$\mu_k = -2A \sin(\pi F) \sin[2\pi F(k + \frac{1}{2})] \quad (7)$$

$$y_k = 2A \sin(\pi F) \cos[2\pi F(k + \frac{1}{2})] \quad (8)$$

$$\lambda_k = \alpha^2 (w_1^2 + w_2^2) [1 - \frac{2w_1 w_2}{w_1^2 + w_2^2} \cos(\frac{k\pi}{N+1})]$$

$$k = 1, 2, \dots, N \quad (9)$$

단, I 는 단위 행렬

가 되며, $u=it$ 일 때 S의 특성 함수는

$$\begin{aligned} G(it) &= E\{e^{its}\} = G(u) \\ &= \exp\left\{\sum_{k=1}^N u g_k^2 (1 - 2u \lambda_k)^{-1}\right\} \\ &\cdot \prod_{k=1}^N (1 - 2u \lambda_k)^{-1} \end{aligned} \quad (3)$$

단,

$$g_k^2 = \sum_{l=1}^N \sum_{n=1}^N (\mu_l \mu_n + y_l y_n) e_{kl} e_{kn} \quad (4)$$

$$\begin{aligned} E\{X_k\} &= \mu_k \\ E\{Y_k\} &= y_k \end{aligned} \quad (5)$$

그림. 2(b)의 3-펄스 소거기의 경우

$$\mu_k = -4A \sin^2(\pi F) \sin[2\pi F(k+1)] \quad (10)$$

$$y_k = 4A \sin^2(\pi F) \cos[2\pi F(k+1)] \quad (11)$$

$$\begin{aligned} \lambda_k &= \alpha^2 (w_1^2 + w_2^2 + w_3^2) [1 - \frac{2(w_1 w_2 + w_2 w_3 + w_3 w_1)}{w_1^2 + w_2^2 + w_3^2} \\ &\cdot \cos(\frac{k\pi}{N+1})] \end{aligned} \quad (12)$$

$$k = 1, 2, \dots, N$$

단, $F = \text{도플러 주파수/PRF}$

가 된다.

신호가 없을 때, 모든 g_k^2 은 0 이므로, 확률 밀도 함수는

$$f_o(u) = \frac{1}{2} \sum_{k=1}^N \lambda_k^{-1} C_k \exp(-u/2\lambda_k) \quad (13)$$

$$\text{단, } C_k \triangleq \prod_{l \neq k}^N \left(1 - \frac{\lambda_l}{\lambda_k}\right)^{-1} \quad (14)$$

이므로, 주어진 스펙트럼드 T에 대한 false alarm 확률은

$$P_{FA} = \int_T^\infty f_o(u) du = \sum_{k=1}^N C_k \exp(-T/2\lambda_k) \quad (15)$$

가 된다.

$g_k^2 \neq 0$, 즉 신호가 존재할 때 식 (3)을 직접

변환하기 어려우므로 사다리꼴 공식을 이용하여 수치
적분하여야 한다. S의 확률 밀도 함수 $f_1(y)$ 와 스펙트
럼드 T에 따른 검출 확률 $Q(y)$ 는

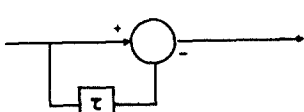
$$f_1(y) = \frac{1}{2\pi i} \int_{-\infty}^{\infty} \exp[-uy + g(u)] du \quad (16)$$

$$Q(y) = \int_y^\infty f_1(u) du = \frac{1}{2\pi i} \int_{-\infty}^{\infty} \exp[-uy + g(u)] \frac{du}{u} \quad (17)$$

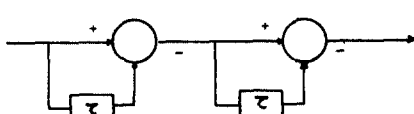
III. False Alarm 및 검출 확률

이항 소거기에 대한 단위 고유 베티 e_{kj} 는

$$e_{kj} = \sqrt{\frac{2}{N+2}} \sin\left(\frac{(k+j)\pi}{N+1}\right) ; j, k = 1, 2, \dots, N \quad (6)$$



(a) 2-Pulse



(b) 3-Pulse

[그림 2] MTI 의 불력도

$$\varphi(u) = \ln G(u) \quad (18)$$

이다. 적당히 변수를 변환하고 사다리꼴 공식을 적용하면

$$Q(y) = \text{Real} \frac{S}{\pi i} \int_{-\infty}^{\infty} \frac{1+e^{-x}}{u} \exp[-uy + \varphi(u) + x - e^{-x}] dx$$

$$u_1 > 0 \quad (19)$$

$$\cong \text{Real} \frac{S}{\pi i} h \sum_{m=K}^K I(mh), \quad u_1 > 0 \quad (20)$$

단, h 샘플간의 간격

$$S = \frac{1+i\sqrt{3}}{y} \quad (21)$$

$$u = u_1 + S \exp(x - e^{-x})$$

$$I(x) = \frac{1+e^{-x}}{u} \exp[-uy + \varphi(u) + x - e^{-x}]$$

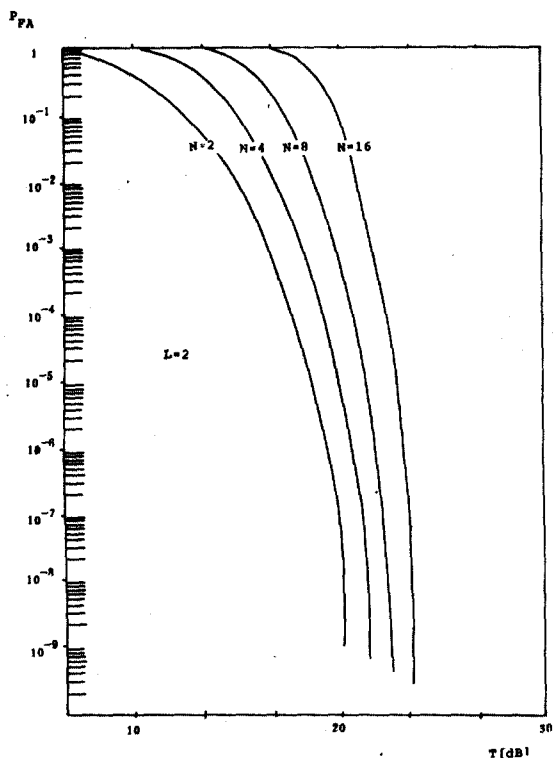
가 된다.

IV. 결 론

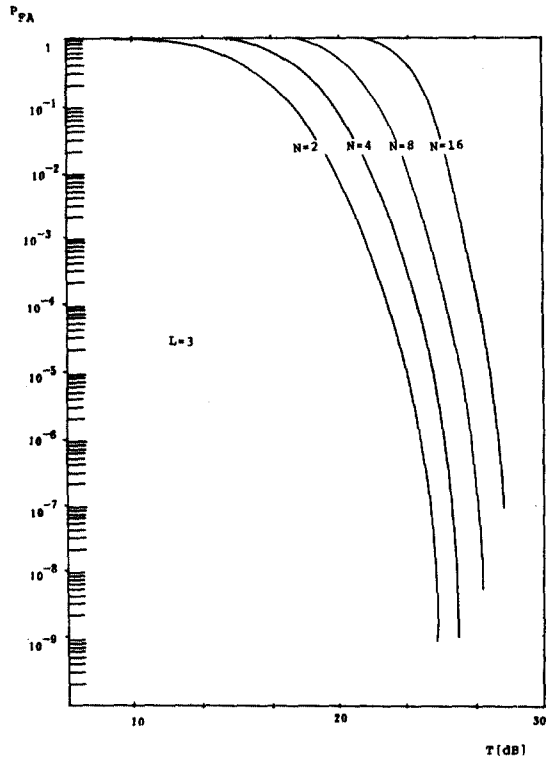
신호가 없을 때, 슬레이드 T , 적분 폴스의 수 N , MTI로 처리되는 폴스의 수 L 및 weight w_k 에 따른 확률 밀도와 false alarm 확률이 계산된다.

$\delta^2 = 1$ 로 가정하고 2-pulse의 경우 $w_1=1$, $w_2=-1$, 3-pulse의 경우 $w_1=1, w_2=-2, w_3=1$ 로 놓았다. 그림. 3에서와 같이 동일한 T 에 대하여 적분 폴스의 수 N , 혹은 MTI에 의하여 처리되는 pulse의 수 L 이 증가함에 따라 false alarm 확률이 상당히 커진다.

따라서 데이터의 검출 특성을 개선하기 위하여 L 이나 혹은 N 의 수를 증가시킬 경우 상당히 큰 슬레이드 값을 빼야 된다.



(a) 2-Pulse



(b) 3-Pulse

[그림 3] False-Alarm 확률

참 고 문 헌

- [1] S.O.Rice,"Efficient evaluation of integrals of analytic functions by trapezoidal rule,"Bell Syst.Tech.J.vol.52,pp.707-722,May-June 1973.
- [2] A.K.Jain,"A fast Karhunen-Loeve transform for a class of random process,"IEEE Trans.Comm.,pp.1023-1029,Sept.1976.
- [3] F.F.Kretschmer,Jr."Correlation effects of MTI filters,"IEEE Trans.Aeros.

Electron.Syst.,vol.AES-13,pp.321-322,

May.1977.

- [4] J.Pachares,"A table of bias levels useful in radar detection problems,"IRE Trans.Inform.Theory,vol.IT-4,pp.38-45,Mar.1958.
- [5] George M.Dillard,"Performance of an MTI followed by incoherent integration for nonfluctuating signals,"IEEE International Radar Conference,1980.
- [6] A.D.Whalen,Detection of signals in noise,New York:Academic Press,1971.